

東海大学工学部 正員 宇都一馬
正員 冬木衛
正員 近藤博

1. まえがき 標準貫入試験(以下SPT)によって得られる打撃回数-累計貫入量曲線(以下n-S曲線)の整理法には、地層が途中で変化する場合のN値を算定する大崎の方法があるが、n-S曲線そのものの定量的な取扱いはないようである。サンプラーに働く地盤の貫入抵抗は、地盤の状態の種々の要因に支配されるものであるから、n-S曲線のパターンも地盤固有の地盤特性値の変化を反映しているはずである。筆者らは、多くの実測データを観察してn-S曲線を3つのタイプに分類した。²⁾ すなわち、均質地盤において、サンプラーの貫入加速度とともに貫入抵抗が増大するもの(タイプa), 贯入抵抗が一定のもの(タイプb), 贯入抵抗が減少するもの(タイプc)である。前報²⁾では、タイプaに属する信頼性の高いと思われるデータ104例を取り上げ、実測値に $S = S_0 \cdot (1 - e^{-\frac{N}{S_0}})$ ⁽¹⁾ の非線形回帰曲線を当てはめ、 S_0 、入を最小自乗法で決定し(図-1参照、図中に各種の量を定義)，その解析結果について報告した。得られた結果を列記すると、つぎのとおりである。

- (1) n-S曲線の全点記録のあるもの(全点データ)への式の当てはめは、満足すべきものであり、n-S曲線は S_0 、入2つの回帰係数のみで定量化できる。(2) また、10cm貫入時ごとの打撃回数(3点データ)から求めた S_0 、入および S_0 、 S_0 、 N_0 などの諸量は全点データから求めたものとほぼ一致した。これにより、過去の多量のSPTデータ(一般には3点データ)についてこの解析手法が通用できる。(3) 極めて硬い地盤で“N値50以上”で打ち切られている場合でも、2点以上の記録があれば式は決定されN₀値を推定できる。このN₀値は、打ち切り時のn-Sの関係から単純に比例計算したN値よりも大きい値となる。(4) また、これによると、 $S_0 \leq 30$ cmとなっていわゆるN値が存在しない地盤もある。

- (5) (1)式をもとに得られる、 S_0 、入、 S_0 、 N_0 および N_0 などの諸量はそれを地盤固有の地盤特性値と密接な関係があることが予想される。

今回の報告は、この結果をもとにさらに詳細な考察を行なったものである。

2. 同一N値におけるn-S曲線の相違 図-2は、N値50附近における異なる地層のn-S曲線6例を描いたもので、図中の表に回帰係数その他のデータをまとめである。これから従来同一N値と評価されていた地盤においても、n-S曲線のパターンには相違があることが分かる。これはサンプラーの貫入性状に相違があることを示し、地盤の強度変形特性、粒度構成、密度などの相違がサンプラーに働く貫入抵抗の変化として反映されているものとして興味深い。

3. S_0 -入図によるn-S曲線の分類 n-S曲線は、 S_0 および入の値によって決定されるので、解析結果を S_0 -入図にプロットすればn-S曲線のパターンの分類が可能となる。またプロットされた点は地質種別ごとに特長ある分布をする。紙面の都合で S_0 -入図は省略するが(前報^{9, 10}図参照)，これを詳細に検討するとつぎの事が明らかになる。

- (1) 粘土質地盤では、n-S曲線の S_0 の値は2.5~8と大きいにもかかわらず、 S_0 は比較的小さく45~55cm程度となる。これは、曲線の曲がりが

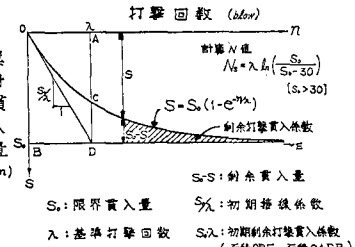


図-1 n-S曲線の解析モデル

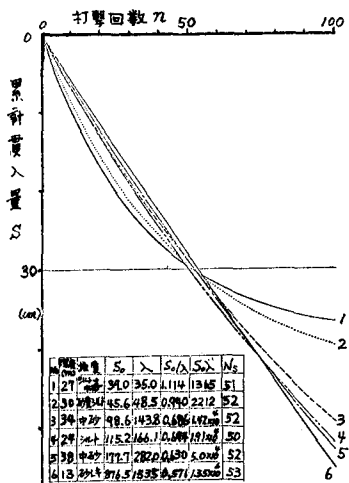


図-2 同一N値におけるn-S曲線の相違

早く起こうことを示し、サンプラーに働く先端抵抗とサイドの摩擦抵抗との割合の変化が粘性土特有のパターンを示すことを暗示している。(2) シルト質地盤では、 S_0/α は0.7~3、 S_0 は35~170cmとなつた。 S_0 は硬質のものほど小さな値を示し、地質年代の相違による破壊性状の違いが現われているようである。(3) 砂質地盤では、 S_0/α は0.2~5、 S_0 は17~350cmの範囲にあり、 $S_0-\alpha$ 曲線上で広く分布した。硬質のものでは $S_0 < 30\text{cm}$ なり、 N 値の存在しないものもある。地盤の粒度構成、

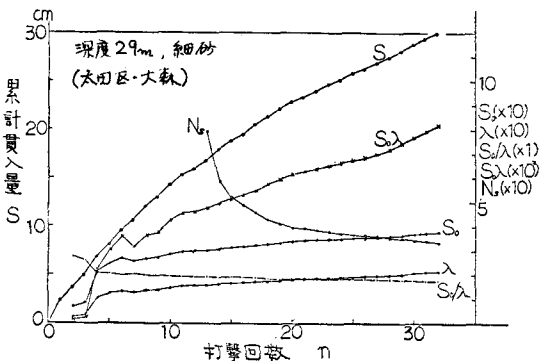


図-3 $S, S_0, \ln S_0/\ln S_0$ および N_S の時系列変化

想される。(4) 砂利地盤では、 S_0/α は $0.6\sim0.8$ の狭い範囲にあるが、 S_0 は $30\sim1000\text{ cm}$ の広い範囲にあり、 $\alpha-S$ 曲線が急激に曲がるのもと、ほとんど直線的であるとのことがある。 S_0/α の値も広く範囲に分布する。砂利地盤の粒度構成、繊維り混合、玉石に当った場合などの影響か貫入性状の相違を有して現われたものと考えられる。

4. S_0 , λ , S_0/λ , S_0 などの諸量の打撃数ごとの変化

4. S_0 , S_0/λ , S_0/λ^2 などの諸量の打撃回数ごとの変化 ハーフ曲線の全点定期記録で $n=2$ から始めて、1点ずつ測点を増加させながら式の回帰を行ない、求めた諸量を打撃回数につけプロットすると一種の時系列的変化がわかる。図-3は、解析結果の一例で砂質地盤についてのものである。これらを検討すると、買入の初期にはタイプbやcの買入性状を呈して、大きく変動している状態が明らかとなり、(1)あゆる予備打ちの必要性を裏付けるものである。また、これらの時系列変化は粘性土地盤、砂質地盤、砂礫土地盤あるいは地層が変化した場合に特長のあるパターンがみられ、これも地盤のパラメータの一つとして利用できそうである。 S_0/λ の変動の少ないのは一の特長である。

5. S_0 , λ , S_0/λ , $S_0\lambda$ などの諸量の持つ意味について

5. S_0 入、 S_0 入、 S_0 入などの諸量の持つ意味について 今回の解析では事例も少なく断定的なことは言えないが、今回使用したデータに限れば以下のことが言えそうである。
(1) S_0 (限界貫入量): サンプラーがこれ以上貫入しない限界値を示し、 $n-S$ 曲線の収束値を示す。
(2) 入(基礎打撃回数): $n-S$ 曲線の初期接線と S_0 線の交点に相当する打撃回数を表わし、 S_0 とともに曲線の曲がり具合を決定し、地盤の強度変形特性と密接な関係があると考えられる。
(3) S_0 入(初期導線係数): $n-S$ 曲線の初期接線の勾配を表わし、等 S_0 入線は S_0 -入図において原点をとる直線となる。今回のデータでは0.2~8の範囲の値をとった。 N 値とは、ほぼ逆相関の関係があり、 N 値をさらに一般化したとの考えられ、地盤特性値の一つとして利用できそうである。
(4) S_0 入(初期剰余打撃貫入係数): $n-S$ 曲線と基線(S_0 線)および S_0 線で囲まれる面積(図-1参照)で、一種のエネルギーに関する情報をえることができる。等 S_0 入線は、 S_0 -入図で双曲線で表わされる。
(5) S_0 入と S_0 入の関係は、地盤の総合特性を表現するものと考えられるので、今後、更に検討を進める予定である。

6. the

6. まとめ SPTによって得られる $n-S$ 曲線(タイプa)を $S = S_0(1 - e^{-\frac{S}{S_0}})$ で近似して、定量的に扱う見透しが得られた。同一 N 値上部にされる地盤でも、その構成地質の違いにより $n-S$ 曲線のパラメータに相違があるとされた。今後、多量のデータの収集を行ない他の土質定数値と合せて統計的解析(主に多変量解析)を行なう予定である。また、筆者らの研究よりロッドの長さによる動的貫入機構の相違が明らかとなつているので、この面からの検討を地盤のモデル化を試みながら解析的に行なう予定である。

謝辞 貴重な資料を提供いただいた、全国地質業協会連合会および関係各位の方々、別途資料をいただき中央閻谷 K.K.、応用地質調査事務所、川崎地質 K.K. の関係各位に深く感謝いたします。

参考文献 1) 大崎順彦、建築地盤調査法、才一公社(1958)。2) 宇都・冬木・近藤・石保、標準貫入試験に関する基礎的研究(3), 第13回土質工学研究発表会(1978)。3) 宇都・冬木・近藤・山田、 N 値の補正法に関する考察、2) 七同前。